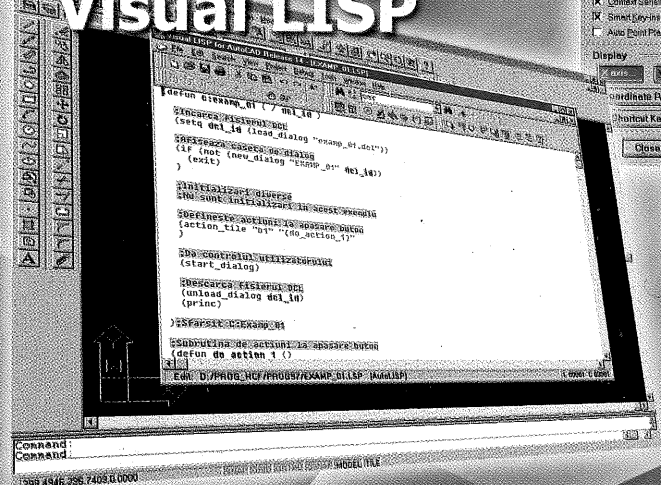


# Hello CAD FANS

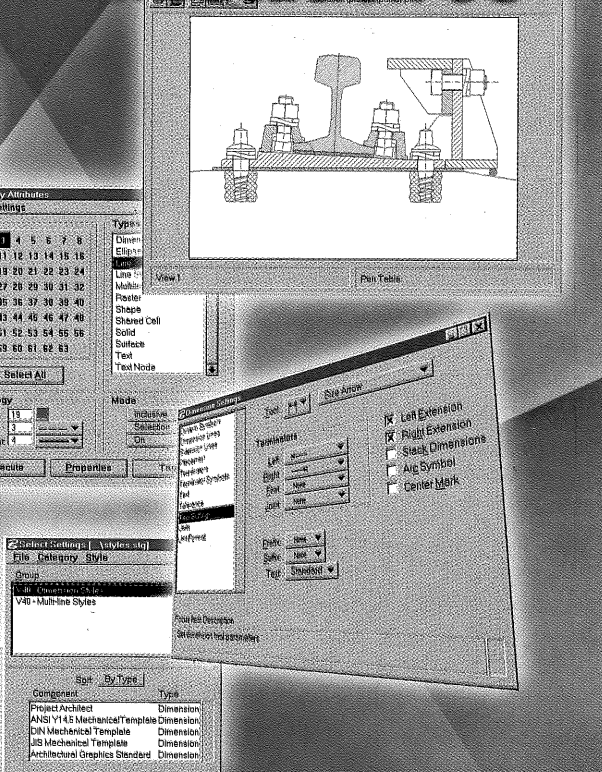
Din menu-ul de astăzi...

Visual LISP



Offset 3D

MicroStation 95



DCL

# Considerații privind reprezentarea funcțiilor de două variabile

DE PETRU-AURELIAN SIMIONESCU,  
UNIVERSITATEA POLITEHNICA DIN BUCURESTI,  
CATEDRA DE TEORIA MECANISMELOR SI A ROBOTILOR

Numerouse activități științifice și ingineresci presupun manipularea unui mare volum de date numerice a căror corectă interpretare depinde esențial de utilizarea unor variante reprezentări grafice. Funcții reale de două variabile reale apar frecvent în astfel de situații și prin urmare vizualizarea lor este o utilitate comună multor softuri specializate (Matlab, MatCAD, Mathematica, Maple, Excel etc.).

Funcțiile reale, continui, de două variabile reale de forma  $z=f(u,v)$  definesc suprafețe 3D, notate în continuare cu  $S_f$ , pentru a căror reprezentare au fost dezvoltăți algoritmi deosebit de eficienți ca timp de calcul [1], [2], [4], [9], [11], [12]. De regulă, aceste funcții se aproximează prin matrice  $Z_{m \times n}$  cu componente  $z_{ij}=f(u_i, v_j)$   $i=1, m$  și  $j=1, n$  distribuite regulat în interiorul domeniului de reprezentare, astfel încât fiecare coloană a matricii corespunde unei singure cordonate  $u$  iar fiecare linie corespunde unei singure cordonate  $v$  [3]. Cunoscând intervalele  $u_{\min} \leq u_i \leq u_{\max}$  și  $v_{\min} \leq v_j \leq v_{\max}$  utilizate în generarea matricei  $Z_{m \times n}$  se pot reconstitui tripletele  $(u_i, v_j, z_{ij})$  fiecare dintre acestea corespunzând unui singur punct pe suprafața  $S_f$ .

Se cunosc câteva tipuri de reprezentări grafice pentru funcții reale de variabilă reală,  $z=f(u,v)$ , majoritatea bazându-se pe aproximări

liniare cu seturi de poliliniile care trec prin punctele  $(u_i, v_j, z_{ij})$ . Aceste reprezentări sunt:

- 1) tip familiilor de curbe pentru  $u=\text{constant}$  sau  $v=\text{constant}$  (un exemplu este partea superioară a Fig. 1);

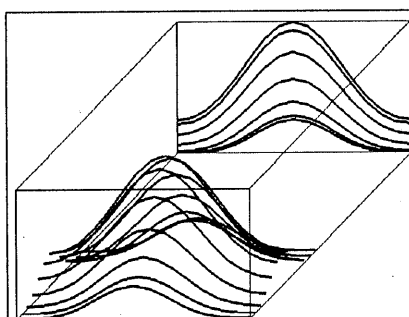


Fig. 1. Familie de curbe vizată ca proiecția frontală a unei diagrame tip „waterfall”

- 2) diagrame de tip „waterfall”, sau mai general, reprezentări tip liniile de contur (siluete) cu sau fără ascunderea portiunilor invizibile (exemplu se pot vedea în partea de jos a Fig. 1 și în Fig. 6);
- 3) diagrame de tip „mesh“ transparente (wireframe), sau opace, cum sunt Fig. 3 și Fig. 4;
- 4) curbe de nivel elevate, eventual mapate pe suprafața  $S_f$  în reprezentare tip mesh (exemplu Fig. 17);
- 5) suprafețe „randate“ cu diferite culori, eventual iluminate cu una sau mai multe surse

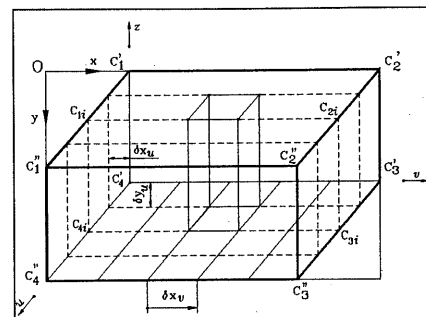


Fig. 2. Linii ajutătoare pentru generarea unei proiecții paralele-oblice

- 6) reprezentări de tip curbe de nivel (Fig. 12). Acestea din urmă sunt reunii coplăneare ale curbelor rezultate prin intersecția dintre

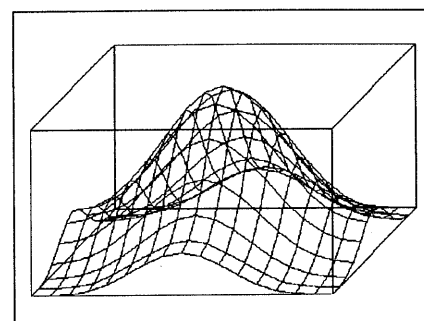


Fig. 3. Reprezentare de tip „wireframe”

suprafața funcției  $S_f$  și un număr de plane orizontale  $z=\text{constant}$ . Se obțin foarte ușor utilizând aceeași matrice de discretizare  $Z_{m \times n}$  [9],

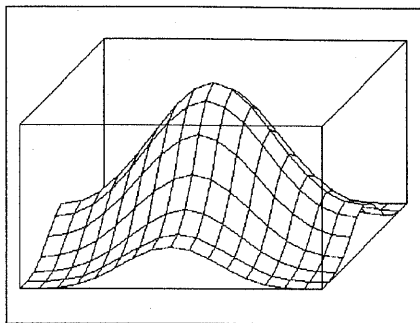


Fig.4. Reprezentare de tip „mesh”

fără a fi nevoie să se rezolve efectiv ecuația  $f(u,v)=\text{constant}$ . Figurile la care s-a făcut referire anterior sunt reprezentări ale funcției analitice  $z=(\cos^2 u + \cos^2 v)^2$  în domeniul  $[-\pi/2..+\pi/2] \times [-\pi/2..+\pi/2]$  pentru care în mod normal z aparține intervalului  $[0..4]$ .

Algoritmul din lucrările citate mai sus, destinați reprezentărilor de funcții reale de două

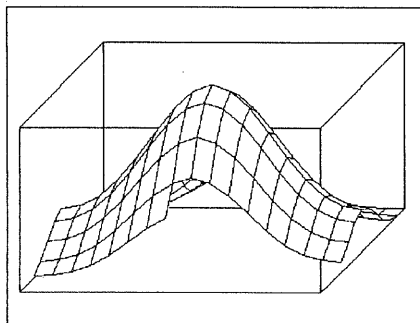


Fig.5. Succesiunea desenării și ascunderea patch-urilor într-o reprezentare de tip mesh

variabile reale, sunt orientați către dispozitive de desenare cu trasare continuă (plottere). Cu excepția algoritmului lui Kubert și col. [4], problema eliminării liniilor ascunse este rezolvată în spațiul imagine, utilizând cu succes faptul ca suprafețele patrulatere elementare (patch-uri) rezultate din discretizarea funcției sunt deja ordonate după profunzime.

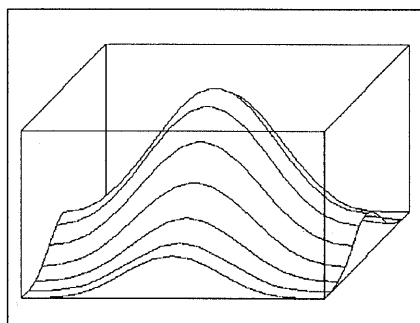


Fig.6. Reprezentare de tip „floating horizon”

În continuare se va face referire la un algoritm care utilizează pentru eliminarea liniilor ascunse metoda sortării după profunzime, propusă de Newell și col. [5] și implementată în modulul *Chart wizard* al softului Microsoft EXCEL. Metoda este cunoscută și sub denumirea de „metoda pictorului” problema vizibilității rezolvându-se prin desenarea completă a obiectelor componente ale unui ansamblu, începând cu cel mai din spate până la cel mai apropiat. Acest algoritm se pretează în mod particular unor vizualizări pe dispozitive grafice de tip raster, folosind conversia prin scanare a poligoanelor (*polygon scan conversion*, pe care se bazează de exemplu procedura „*fillpoly*” din Turbo Pascal). Plecând de la această metodă cunoscută de ascundere a zonelor invizibile în reprezentarea grafică a obiectelor 3D, autorul propune o extindere care să permită determinarea cu acuratețe a formei intersecției dintre orice suprafață  $S_f$  definită ca mai sus, și un plan orizontal  $z=\text{constant}$ . Problema apare atunci când se dorește vizualizarea numai a unei porțiuni a funcției studiate, delimitată prin plane orizontale paralele. Fiind integral rezolvată în spațiul imagine, această facilitate nu afectează rapiditatea intrinsecă a algoritmului de ascundere a liniilor invizibile.

## Metodă de reprezentare a suprafețelor $S_f$

Proiecțiile paralele ale obiectelor 3D pot fi realizate manual cu instrumente clasice de desenare și asigură prelevarea comodă a datelor numerice. Diagramele tip „waterfall” folosesc astfel de proiecții și sunt utilizate de multă vreme în vizualizarea seturilor de date numerice. Diagramele de tip „waterfall” se pot interpreta ca deplasări diagonale ale unor familii de curbe așa cum se sugerează prin Fig.1. În Fig.2 se arată cum un punct  $C'_4$  situat în interiorul unei ferestre de vizualizare (linia punctată) definită pe display-ul calculatorului, poate determina un paralelipiped prin care să se mărginească suprafața funcției  $S_f$  în proiecție oblică, generală. Este acceptat că în cazul reprezentării de funcții, păstrarea unei izotropii dimensionale în lungul celor trei axe este neesențială. Modificând poziția punctului

$C'_4$  în interiorul ferestrei de vizualizare se poate simula schimbarea punctului din care se privește. În plus, combinând această deplasare a punctului  $C'_4$  cu o schimbare a raportului lățime/inălțime a ferestrei de vizualizare se poate obține și o modificare a factorului de adâncime a diagramei.

Cunoscând coordonatele punctului  $C'_4$  relativ la sistemul de axe Oxy atașat ferestrei de vizualizare (Fig. 2), se pot calcula mărimile  $\delta x_u$  și  $\delta y_u$  cu ajutorul cărora se poziționează un dreptunghi curent  $C_{1j}C_{2j}C_{3j}C_{4j}$  ce mărginește un *patch* din interiorul suprafeței  $S_f$ . Similar se poate calcula mărimea intervalului  $\delta x_v$  care desparte fiecare două vertex-uri succesiive ale unei polilinii  $u_i=\text{constant}$ :

$$\delta x_u = \frac{x_{c4} - x_{c4}}{m}, \quad \delta y_u = \frac{y_{c4} - y_{c4}}{m} \quad \text{and} \quad \delta x_v = \frac{y_{c3} - y_{c4}}{n} \quad (1)$$

Prin urmare, coordonatele din spațiul imagine  $(x_{ij}, y_{ij})$  ale unui vertex  $j$  al poliliniei  $i$  ce corespunde unei componente  $z_{ij}$  a matricei  $Z$  va fi:

$$x_{ij} = x_{c4} + \delta x_u \cdot (i-1) + \delta x_v \cdot (j-1) \quad (2)$$

$$y_{ij} = y_{c4} + \delta y_u \cdot (i-1) - (z_{ij} - z_{\min}) \frac{y_{c4} - y_{c1}}{z_{\max} - z_{\min}}$$

Reprezentarea unor diagrame de tip „waterfall” poate fi ușor extinsă către producerea de suprafețe „mesh” asemenea celei din Fig.3: Prin trasarea succesivă a poliliniilor corespunzătoare unui  $u_i$  constant și conectarea cu segmente de dreapta a fiecărui vertex curent  $(x_{ij}, y_{ij})$  cu vertex-ul  $(x_{i-1,j}, y_{i-1,j})$  al poliliniei anterioare, va rezulta o a doua serie de poliliniile de coordonată  $y_j$  constantă. Este necesară pentru aceasta utilizarea unui vector dinamic cu  $n$  componente în care să se memoreze coordonatele vertex-urilor ce vor trebui

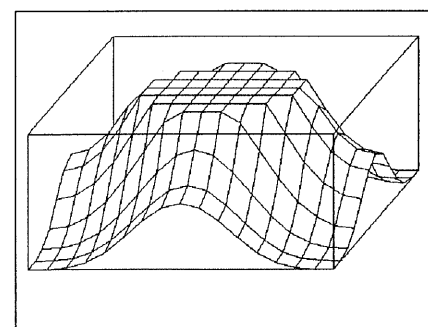


Fig.7. Rezolvarea clasică a problemei intersecției cu planul superior

unite conform procedurii descrise anterior.

Pentru generarea unei reprezentări cu liniile invizibile ascunse a suprafeței  $S_f$  (Fig.4) utilizând metoda sortării după profunzime, fiecare patch trebuie umplut cu culoarea de fond (sau o altă culoare) astfel încât toate segmentele aflate în spatele acestuia să devină ascunse. Succesiunea în care trebuie desenate și umplute cu culoare fiecare din aceste patch-uri trebuie să fie din spate spre în față, începând cu cel mai îndepărtat punct față de observator. În Fig.5, unde punctul de vedere este situat în primul octant, reprezentarea suprafeței va trebui să fie făcută de la stânga la dreapta începând cu punctul  $C'_4$ . Dacă punctul de vedere se mută în octantul patru, fiecare patch trebuie desenat în ordine inversă, de la dreapta spre stânga, începând cu punctul  $C'_3$  - păstrând aceeași succesiune din spate spre în față.

Umplerea cu culoare de fond a fiecărui patch utilizând conversia prin scanare a poligoanelor poate fi utilizată și în rezolvarea problemei vizibilității în reprezentări de tip siluete multiple, cunoscute și sub numele de reprezentări de tip orizont flotant (*floating horizon*) a acelorași tipuri de funcții [7], [8] (vezi Fig.6). Rezolvarea problemei intersecțiilor poliliniilor successive pentru eliminarea liniilor ascunse, ce stă la baza algoritmilor cunoscuți [9], [10], poate în acest caz fi înlocuită cu umplerea poligoanelor formate cu vertex-urile  $(x_{i-1,j}, y_{i-1,j})$  în ordinea  $j=n, 1$  și a vertex-urilor  $(x_{i,j}, y_{i,j})$  în ordinea  $j=1, n$  respectând de asemenea o succesiune de desenare din spate spre în față. O altă soluție ar fi să se steargă toate segmentele unei categorii (u sau v) ale unei

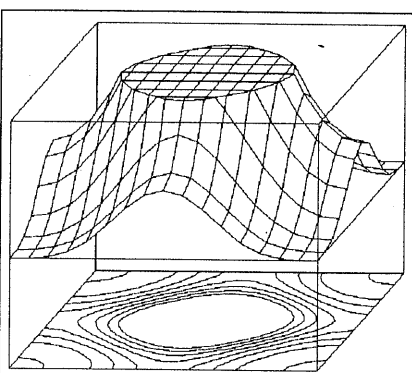


Fig.8. Rezolvarea mai exactă a problemei intersecției cu un plan orizontal

reprezentări de tip *mesh*, prin trasarea peste acestea a unor linii de aceeași culoare cu cea de umplere. Metoda de ascundere este avantajoasă deoarece nu vor mai apărea defecte de tip „margini zdrentuite” și nici cele cauzate de evaluarea vizibilității poliliniilor la un nivel mai crescut de rezoluție decât a fost funcția discretizată, defecte menționate în lucrarea [7].

## Problema intersecției suprafeței $S_f$ cu plane orizontale

Sunt numeroase situațiile când interesul în vizualizarea formei suprafeței  $S_f$  se reduce numai la o prăjune a domeniului de valori inițial  $z_{\min} \dots z_{\max}$ . Este, de exemplu, cazul funcțiilor obiectiv penalizate, întâlnite în problemele de optimizare, care înregistrează valori mari în afara domeniului nefezabil al spațiului de proiecțare. Un alt caz este acela al funcțiilor analitice cu limite infinite în anumite porțiuni din interiorul domeniului  $[u_{\min}, u_{\max}] \times [v_{\min}, v_{\max}]$  pe care se dorește a fi vizualizate.

Soluția tradițională la o astfel de problemă [13] (vezi Fig.7 și 17) este de a opera asupra componentelor matricei  $Z_{m \times n}$ , prin înlocuirea tuturor valorilor  $z_{ij}$  mai mici decât limita modificată  $z_{\min}$  cu exact  $z_{\min}$  și, asemănător, înlocuirea tuturor valorile  $z_{ij}$  mai mari decât noua  $z_{\max}$  cu această din urmă valoare. Metoda are dezavantajul că forma curbei de intersecție dintre suprafața funcției și planul de secțiune este aproimată numai grosier (Fig.7). Precizia poate fi îmbunătățită încă oarecare masură prin creșterea numărului de puncte de discretizare, adică a lui  $m$  și  $n$ , conducând însă la alte neajunsuri, ușor de intuit.

În cazul proiecției paralele oblice (Fig.8) a fost găsită o soluție mult mai precisă, care rezolvă intersecția fiecărui patch al suprafeței  $S_f$  cu cele două plane orizontale ce formează noile limite  $z_{\min} \dots z_{\max}$  de reprezentare după axa z. Vor rezulta astfel două până la cinci subpatch-uri, numărul maxim apărând atunci când atât planul superior cât și cel inferior intersecțează același patch.

În Fig.9 sunt schematizate toate variantele posibile care ar putea apărea la intersecția dintre unul dintre planele orizontale și un patch

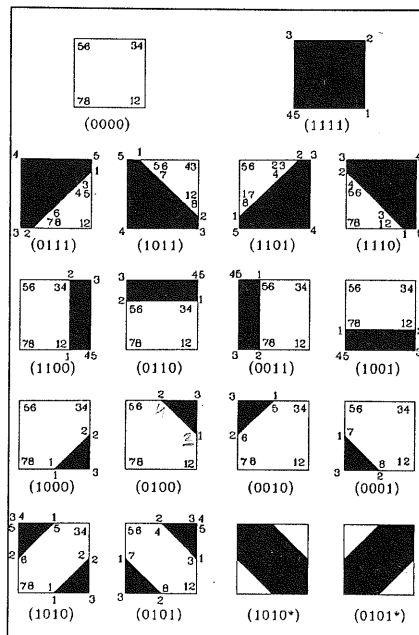


Fig.9. Variante de dispunere a unui „patch” relativ la unul din planele de secțiune

înțial notat cu  $P_1P_2P_3P_4$  în figurile următoare, unde varianta (1111) semnifică un patch situat total în afara paralelipipedului care mărginește graficul funcției iar (0000) semnifică un patch care nu intersecțează planul

	sus	jos	1111	0000	0111	1011	1101	1110	0101	0110	0011	1001	1010	0100	0010	1000	0101*	1010*	0101*
1111			X	X	X	X	X	X	X	X	X	X	X	X	X	X	X	X	X
0000	X																		
0111		X																	
1011			X																
1101				X															
1110					X														
0101						X													
1001							X												
1100								X											
0110									X										
0011										X									
1001											X								
1000												X							
0100													X						
0010														X					
1000															X				
0101*																X			
1010*																	X		
0101*																		X	

Tabelul I

orizontal considerat, dar care ar putea fi intersecțat de cel de-al doilea plan orizontal (în cazul în care atât  $z_{\min}$  cât și  $z_{\max}$  au fost modificate față de valorile avute inițial).

În cazul intersecției cu planul orizontal inferior (proiectat în Fig.2 prin  $C'_4C'_3C'_3C'_4$ ), zonele de culoare neagră reprezintă porțiunile patch-ului  $P_1P_2P_3P_4$  situat dedesubt, în timp ce pentru intersecția cu planul orizontal supe-

rior (proiectat în Fig.2 prin  $C'_1C'_2C''_2C''_1$ ) portă o unea de culoare neagră semnifică regiunea situată deasupra acestui plan. De exemplu, în varianta (0111) de intersecție cu planul orizontal inferior, vertex-urile  $P_2$ ,  $P_3$  și  $P_4$  vor fi situate dedesubt și numai vertexul  $P_1$  va fi situat deasupra. La rândul său, acest vertex  $P_1$  poate să se găsească dedesubt sau deasupra planului orizontal superior, în acest din urmă caz rezultând o variantă de intersecție (1000). Toate cazurile de intersecție cu un singur plan orizontal au fost reunite în Fig.9.

Modul cum aceste variante (0000)..(0101) de intersecție cu planul inferior, respectiv superior se pot asocia pe suprafața acelaiași *patch* a fost sistematizate într-un graf reprezentat prin Tabelul 1.

Revenind la Fig.2, paralelipipedul proiectat  $C'_1..C'_4C''_1..C''_4$  poate fi considerat împărțit în  $m \times n$  paralelipipede elementare, cu ajutorul căror problema intersecției atât cu planul orizontal superior cât și cu cel inferior poate fi soluționată integral în spațiul imagine (bidimensional).

Există patru categorii de puncte ce pot rezulta în urma intersecției unui *patch* inițial  $P_1P_2P_3P_4$  cu planul orizontal inferior și similar la intersecția cu planul orizontal superior. Coordonatele colțurilor *patch*-ului inițial vor fi notate cu  $P_1(x_{ij}, y_{ij})$ ,  $P_2(x_{ij-1}, y_{ij-1})$ ,  $P_3(x_{i+1,j-1}, y_{i+1,j-1})$  și  $P_4(x_{i,j-1}, y_{i,j-1})$ , iar punctele de intersecție cu  $M$ ,  $N$ ,  $Q$  și  $R$  așa cum se vede în Fig.10 precum și în Fig.11. Aceeași literă va fi folosită când intersecția are loc pe aceeași latură orizontală a paralelipipedului elementar.

Varianta (1001), schematizată în Fig.10, va da naștere la punctele de intersecție  $M$  și  $Q$ , iar varianta (0011) reprezentată în Fig.11 la punctele  $N$  și  $R$ . *Patch*-ul inițial cu numai patru laturi  $P_1P_2P_3P_4$  se va transforma în două *subpatch*-uri adiacente cu o linie comună  $MQ$  respectiv  $RN$ . Așa cum se poate observa, regiunea situată sub planul de intersecție  $C'_4C''_4C''_3C'_3$  trebuie să fie „aliniată” respectivului plan. Aceste transformări de intersecție și aliniere au fost generalizate pentru toate variantele reunite în Fig.9.

După cum reiese din Fig.10 și 11, coordonatele punctelor  $M$ ,  $N$ ,  $Q$  și  $R$  relativ la sis-

temul de coordonate Oxy al ferestrei de afișare vor fi:

$$x_M = x_{P_1} - \frac{y_M - y_{14}}{\delta y_u} \cdot (x_{P_2} - x_{P_1}) \quad y_M = \frac{y_{P_1} \cdot y_{23} - y_{P_2} \cdot y_{14}}{y_{P_1} - y_{P_2} - \delta y_u} \quad (3)$$

$$x_N = x_{P_2} - \frac{y_M - y_{P_2}}{\delta y_u} \cdot \delta x_v \quad y_N = y_{23} \quad (4)$$

$$x_Q = x_{P_4} - \frac{y_Q - y_{14}}{\delta y_u} \cdot (x_{P_3} - x_{P_4}) \quad y_Q = \frac{y_{P_4} \cdot y_{23} - y_{P_3} \cdot y_{14}}{y_{P_4} - y_{P_3} - \delta y_u} \quad (5)$$

$$x_R = x_{P_1} - \frac{y_R - y_{P_1}}{y_{P_4} - y_{P_1}} \cdot \delta x_v \quad y_R = y_{14} \quad (6)$$

În relațiile de mai sus s-au folosit notațiile  $y_{23}$  și  $y_{14}$  care depind de tipul planului, inferior sau superior, după cum urmează:

$$y_{23} = \begin{cases} y_{c_4} + \delta y_u \cdot (i-1) & \text{pentru planul inferior} \\ y_{c_1} + \delta y_u \cdot (i-1) & \text{pentru planul superior} \end{cases} \quad (7)$$

$$y_{14} = \begin{cases} y_{c_4} + \delta y_u \cdot i & \text{pentru planul inferior} \\ y_{c_1} + \delta y_u \cdot i & \text{pentru planul superior} \end{cases} \quad (8)$$

Cu excepția variantelor (1010\*) și (0101\*), care dau naștere la două *subpatch*-uri a căror orientare rămâne neschimbată (regiunile de culoare albă), toate celelalte variante din Fig.9 vor rezulta într-un singur *subpatch* „nealiniat”. Prin neglijarea acestor două cazuri notate cu asterisc, care apar relativ de puține ori, se poate obține o simplificare a algoritmului de reprezentare grafică după cum urmează. Se va putea utiliza un poligon generic cu 8 vârfuri, în care fiecare două-câte-două vor fi inițial confundate, așa cum este adnotată varianta (0000) din Fig.9. În cazul în care se produce o intersecție, acest poligon se va modifica prin separarea sau reunirea în continuare a vertex-urilor, variantele extreme fiind (1111) când poligonul dispare (se reduce la 8 puncte confundate care să se reprezinte - eventual - undeva în afara spațiului vizibil), sau se extinde într-un octogon nedegenerat, cum este

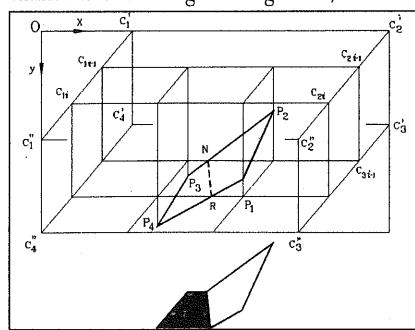


Fig. 10. Schematic diagram showing the resolution of intersection variant (1001)

cauzul variantelor suprapuse (1010-sus) + (0101-jos) sau (0101-jos) + (1010-sus). În paralel cu acest poligon generic cu 8 vârfuri, alte două poligoane cu 5, respectiv 3 vârfuri, vor trebui considerate pentru reprezentarea de această dată a *subpatch*-urilor aliniate. Aceste poligoane vor avea un comportament similar, putând exista:

- a) ca un singur punct,
- b) cu vârfurile parțial confundate (pentru poligonul cu 5 vârfuri), sau
- c) ca pentagoane și triunghiuri nedegenerate (vezi zonele de culoare neagră din Fig.9).

Succesiunea prin care aceste trei poligoane vor trebui desenate și umplute cu culoare pentru a obține o ascundere corectă a liniilor invizibile este începând cu cel (cele) aliniate planului orizontal inferior și terminând cu cele aliniate planului orizontal superior. De asemenea trebuie păstrată ordinea dinspre spate spre față și de la stânga spre dreapta (sau de la dreapta spre stânga) asemenei cazului fără să intersecții din Fig.5.

## Reprezentări tip curbe de nivel

Așa cum s-a sugerat deja prin Fig.8, curba rezultată din intersecția suprafeței funcției  $S_f$  cu oricare din planul orizontal inferior sau superior, este de fapt o curbă de nivel în proiecție oblică [3]. Considerând un număr de astfel de intersecții, de fiecare dată pentru o altă poziție a suprafeței  $S_f$  translată vertical, și prin aplicarea unei transformări „shearing” adecvate, se pot genera diagrame tip curbe de nivel asemenei celor din Fig.12. Evident rezoluția reprezentării va depinde de densitatea cu care funcția  $f(u,v)$  a fost discretizată,

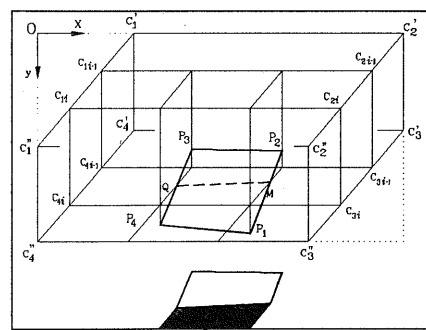


Fig. 11. Schematic diagram showing the resolution of intersection variant (0011)

după cum se poate constata comparând exemplele a și b din Fig.12.

Variantele (1010\*) și (0101\*) din Fig.9, ignorate la reprezentarea în perspectivă a suprafeței  $S_f$ , pot da rezultate incorecte cum sunt de exemplu „punctile” din partea superioară a suprafeței 3D reprezentată în Fig.13. Această figură reprezintă (cu o rezoluție  $m=25$  și  $n=40$ ) funcția  $z=\sin((\cos u \cdot \sin v) \cdot \pi)$  pentru  $u$  și  $v$  în domeniul  $[-\pi/2.. \pi/2]$ , planul superior de intersecție fiind la  $z_{\max}=0.975$  față de valoarea inițială  $z_{\max}=1$ .

Defectele menționate ar putea fi corectate prin considerarea nu numai a variantelor (1010) și (0101), ci și a perechilor lor (1010\*) și (0101\*), distincția putându-se face prin estimarea valorii curburii locale a suprafeței  $S_f$ .

Soluția adoptată, relativ simplă, a fost aplicată numai pentru corectarea curbelor de nivel. Ea a dat rezultate satisfăcătoare în majoritatea reprezentărilor de funcții experimentate (vezi partea de jos a Fig.13), și constă

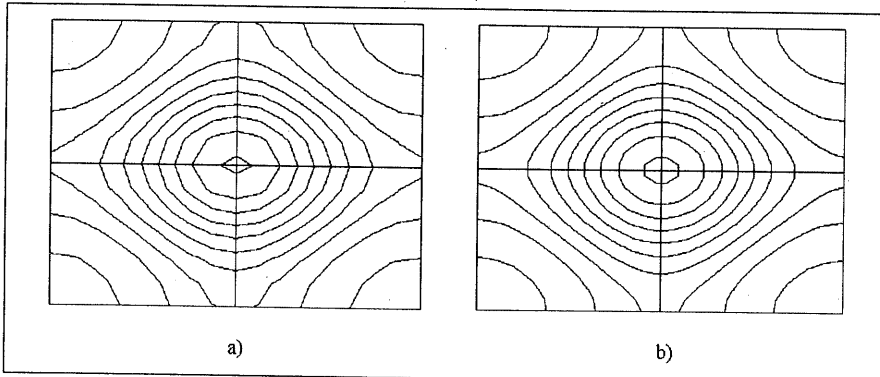


Fig.12. Curbe de nivel produse pentru o rezoluție (a) 13\*17 și (b) 26\*34

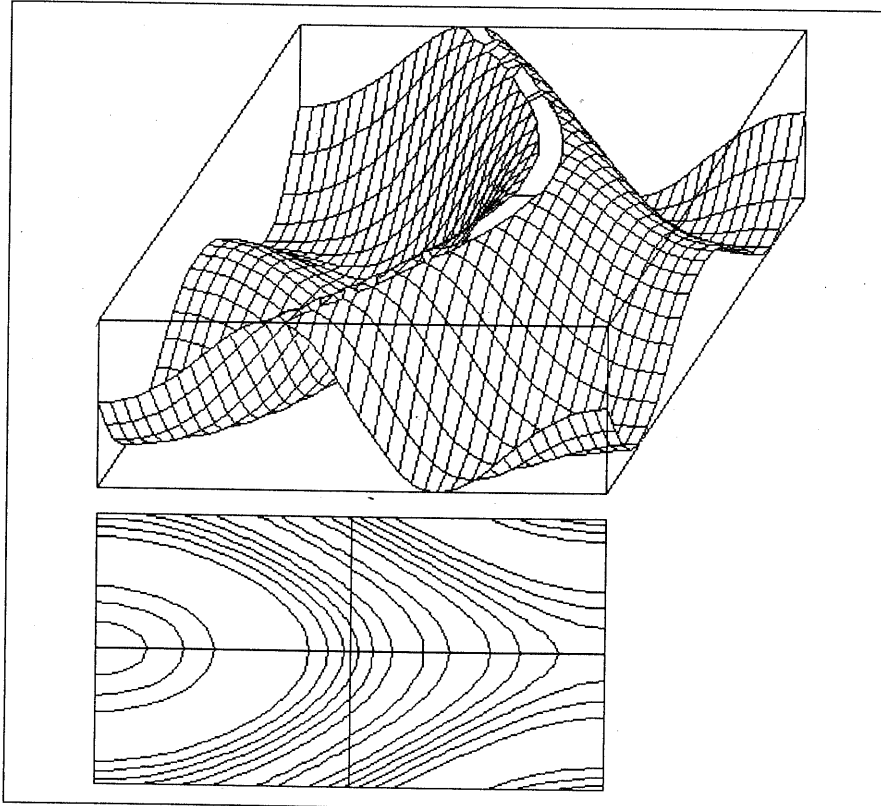


Fig.13. Defecți datorate ignorării variantelor (1010\*) și (0101\*) și eliminarea lor într-o diagramă tip curbe de nivel, prin estimarea curburii locale

în compararea valorilor  $z_{ij}$ ,  $z_{i-1,j}$ ,  $z_{i-1,j-1}$  și  $z_{i,j-1}$  corespunzătoare punctelor  $P_1$ ,  $P_2$ ,  $P_3$  și  $P_4$  cu valorile vecine  $z_{ij+1}$ ,  $z_{i-1,j+1}$ ,  $z_{i-1,j-2}$  și  $z_{i,j-2}$ . În Fig.14 și 15 este ilustrat exemplul diferenței dintre variantele (1010) și (1010\*), în care cotele punctelor vecine  $P'_2$  and  $P'_4$  au servit la estimarea semnului curburii suprafeței  $S_f$  în

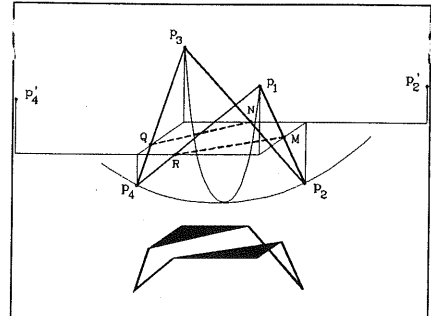


Fig.14. Varianța (0101) rezultată în condițiile unei curburile locale pozitive a suprafeței  $S_f$

zona patch-ului  $P_1P_2P_3P_4$ . Dacă în particular suprafața are în zona considerată un punct să, programul elaborat de autor trasează două segmente încrucișate prin unirea punctelor  $MQ$  și  $NR$ .

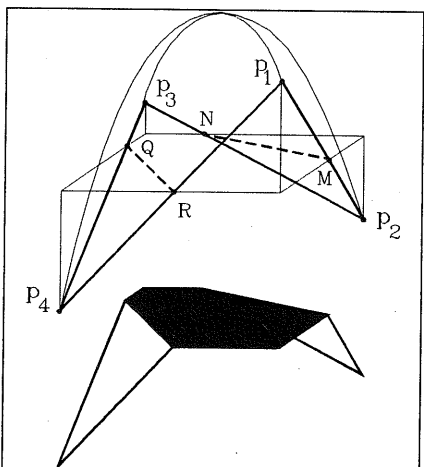


Fig.15. Varianța (0101\*) rezultată în condițiile unei curburile locale negative a suprafeței  $S_f$

## Discuții și concluzii

A fost prezentată o metodă simplă pentru reprezentarea grafică a funcțiilor reale de două variabile reale într-un domeniu trunchiat de valori al funcției. Problema ascunderii liniiilor

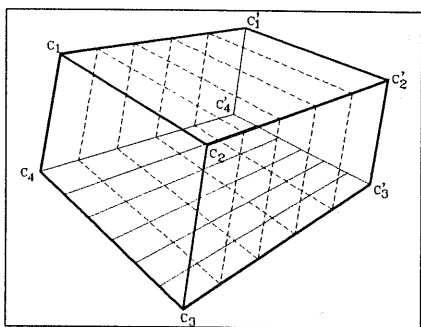


Fig. 16. O generalizare a linilor ajutătoare din Fig.2 invizibile ca și problema intersecției suprafetei funcției cu planul/planele orizontale de intersecție, a fost rezolvată cu succes în cele două dimensiuni ale spațiului imagine.

Generalizând paralelipipedul proiectat  $C'1C'_2C'_3C'_4C''_1C''_2C''_3C''_4$  care mărginește suprafață  $S_f$  ca și patrulaterele ajutătoare ce definesc direcțiile  $u$  sau  $v$  constante din Fig.2, se pot genera și alte tipuri de proiecții ale suprafeței  $S_f$  (Fig.16).

Modulul Chart wizard al softului Microsoft EXCEL utilizează triangularizarea suprafeței pentru implementarea *algoritmului pictorului* de ascundere a suprafețelor invizibile și permite alegerea și a altor tipuri de proiecții, inclusiv cea paralelă-oblică. Trunchierea domeniului valorilor  $z$  ale funcției este rezolvată în schimb mod clasic (Fig.17), cu toate că lucru cu patch-uri triunghiulare ar reduce substanțial numărul cazurilor de intersecție față de cele enumerate în Fig.9, simplificând problema.

Graficele din Fig.18-a și b, produse folosind programul elaborat de autor, reprezentă funcția  $z=(\cos^2 u + \cos^2 v)/2$  trunchiată la

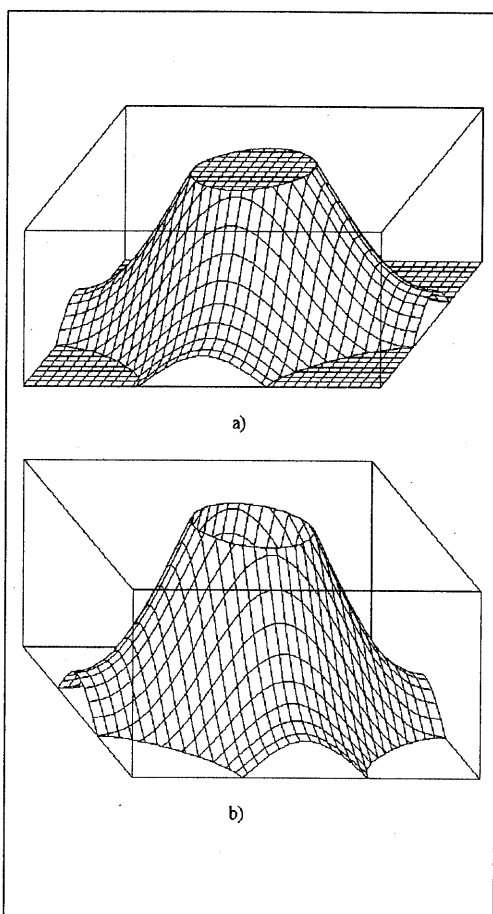


Fig.18. Reprezentări realizate cu programul elaborat de autor

domeniul de valori  $z_{\min}=0.5$  și  $z_{\max}=3$ . Se poate observa o formă mai realistă a conturului intersecției cu planele orizontale inferior și superior, față de metoda clasică (Fig.17).

Conversia prin scanare a poligoanelor este o caracteristică comună dispozitivelor grafice de tip raster, făcând *algoritmul pictorului* foarte ușor de implementat în probleme de vizibilitate a suprafețelor. Algoritm descriș poate fi însă aplicat și pentru dispozitive cu trasare continuă, de tipul ploterelor, folosind algoritmul lui Patnaik și col. [6] de scanarea prin conversie a poligoanelor care lucrează cu entități de tip linie, ceea ce înseamnă că neajunsurile asociate imaginilor de tip hartă de biți vor putea fi eliminate.

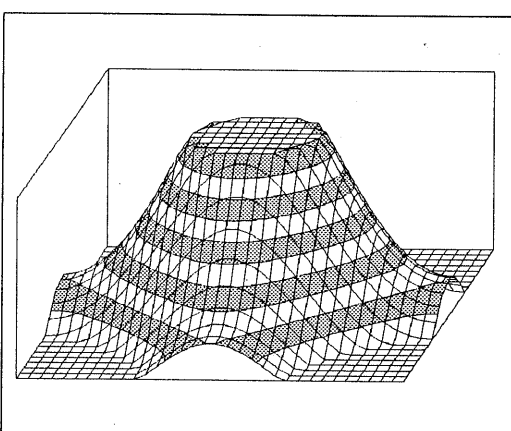


Fig.17. Reprezentare trunchiată a unei suprafețe produse cu MS EXCEL 5

## Bibliografie

1. Boese, F. G., *Surface drawing made simple-but not too simple*, Computer Aided Design, Vol. 20, p. 249-258, 1988.
2. Butland, J., *Surface drawing made simple*, Computer-Aided Design, Vol. 11, p. 19-22, 1979.
3. Foley, J. D., van Dam, A., Feiner, S. K., Hughes, J. F., *Computer graphics, principles and practice*, Addison-Wesley Publishing Co., Reading, Massachusetts, 1996.
4. Kubert, B., Szabo, J., Giulieri, S., *The perspective representation of functions of two variables*, J. Ass. Comput. Mach. Vol. 2, p. 193-204, 1968.
5. Newell, M. E., Newell, R. G., Sancha, T. L., *A solution to the hidden surface problem*, Proc. Ass. Comput. Mach. National Meeting, p. 443-450, 1972.
6. Patnaik, L. M., Shenoy, R. S., Krishnan, D., *Set theoretic operations on polygons using the scan-grid approach*, Computer-Aided Design, Vol. 18, p. 275-279 (1986)
7. Rogers, D. F., *Procedural Elements for Computer Graphics*, McGraw-Hill, NY, 1985.
8. Smeureanu, I., s.a., *Grafcă interactivă pe calculatoare personale*, Editura Militară, București, 1995.
9. Sowerbutts, W. T. C., *A surface-plotting program suitable for microcomputers*, Computer Aided Design, Vol. 15, p. 324-327, 1983.
10. Tănăsescu, A., s.a. *Grafcă asistată. Programe FORTRAN pentru reprezentări geometrice*, Editura Tehnică, București, 1989.
11. Williamson, H. *Hidden-line plotting program*, Commun. Ass. Comput. Mach. Vol. 15, p. 100-103, 1972.
12. Wright, T. J., *Two-space solution to the hide line problem for plotting functions of two variables*, IEEE Transaction on Computers, Vol. C-22, p. 28-33, 1973.
13. \*\*\* Displa, *Versatile display system*, Computer-Aided Design, Vol. 4, p. 212, 1972.

□